

II-4 下水場汚泥を土壤環境した場合の汚水の浸透性について

室蘭工業大学 正会員 徳後準
室蘭工業大学 学生員 ○阿部昌昭

1. まえがき

近年下水処理場の普及および高度処理技術の発展に伴ない余剰汚泥の発生量が増加しており、汚泥の最終処分のほとんどは、陸上および海面埋立によられてい。しかししながら、埋立用地の不足や環境汚染等の問題が生じている。この増大する汚泥を単なる農業物としてではなく、資源としての再利用が呼ばれておりその一つ方法として土壤への還元が注目されつつある。下水汚泥の堆肥化^{1), 2)}や汚泥中重金属の作物への影響等についての報告はめられるが、消化汚泥あるいは、環境汚泥などを土壌へ還元した場合の諸問題についての検討は、不十分のようである。

ところで本報告では、土壤浸透水の地下水汚染への影響を防ぐため濃縮汚泥と火山灰土壌とを混合させた場合の浸透水の水量と水質に関して、実験を行ない若干の知見を得たので報告したい。

2. 実験装置および実験方法

実験は、室蘭市内昭和川河床より採取した粗粒汚泥と樽前山産の火山灰を用いて行った。

各火山灰土層厚について円筒土層底部より水が流出しない混合土の混合比(これを限界混合比とする)を求める実験は次のようである。

実験装置は、図-1に示すとおりで円筒は内径10cm、高さ50cmおよび100cmのアクリル樹脂製のものを用意した。円筒の下部には、ゴム栓がはじめ込まれてあり集水ができるようになっている。なお、ゴム栓の中央に、内径4mmのがラス管が挿入されている。またゴム栓の上面には、土の流出を防ぐために水をしきこませたガーゼと、十分水をしきこませた少々量の清潔な砂がしづめられている。

実験条件は、表-1に示すとおりで手順手順は次のようである。①前もって湿润密度、全重量および含水比を測定しておいた火山灰を所定の層厚となるよう6本の円筒に入

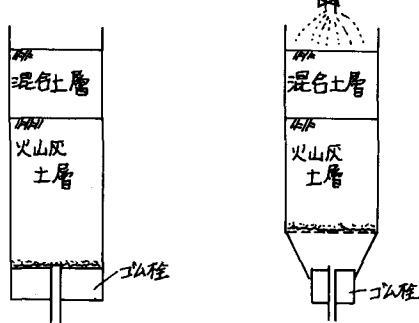


図-1

実験装置

図-2

	図-1による実験	図-2による実験
実験装置 円筒断面積	78.5 cm ²	314 cm ²
汚泥濃度 (懸濁物質)	8000 mg/L	8000 mg/L
混合比 (%)	任意に6段階に変化させる。	各火山灰土層厚での限界混合比を用いる。
火山灰土層厚 (cm)	0, 5, 10, 20, 30, 40	0, 20, 40
混合土層厚 (cm)	常に20 cmとする	左と同じ
ゴム栓 竹板により5cm毎 各層15回。		左と同じ

表-1 実験条件

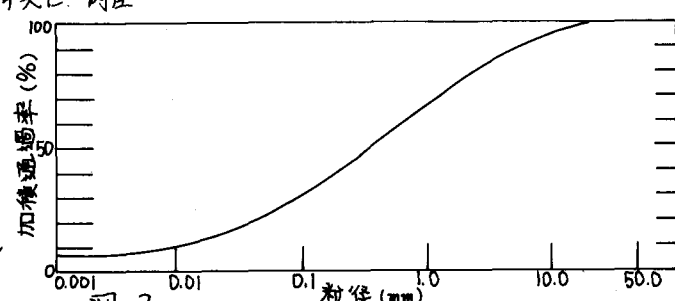


図-3

れる。②次にポリ容器で、火山灰土と8000 m³をなるよう静置濃縮した汚泥とを十分混合させて、混合比を任意に6段階に変化させた混合土を作製し、③それぞれ混合土の湿潤密度と含水比を測定した後、一定容積を円筒中に入れろ。なお、火山灰土と混合土の湿潤密度は、内径14 cm、高さ13 cmのモールドを用いて測定し、また混合比については、(汚泥量(g)) / (汚泥量(g) + 火山灰土重量(g)) × 100 (%)と定義して行なった。④円筒の底部から流出する浸透水量を水量に応じて2時間度に測定する。⑤さらに、採取したそれぞれの浸透水に対して、全窒素、アンモニア性窒素、亞硝酸性窒素、硝酸性窒素、全リン酸、pHを測定する。また、混合土を作製する際に用いた汚泥についても同項目の測定を行なった。なお、全窒素はクルダール法、アンモニア性窒素には底水の程度に応じて直接比色法、蒸留比色法、蒸留滴定法により、亞硝酸性窒素は、メーナフチルアミン・スルファニル酸法、硝酸性窒素はブルシン法、全リン酸は、硝酸と硫酸により正リン酸塩とした後にモリブデン青法により測定を行なった。

次に、以上により求めた限界混合比のものに対して、一定量の水量を散布しE場合の実験結果のようである。実験装置は、図-2に示すようず温化ビニル製の内径20 cm、高さは土層厚に応じたものを用いた。下部には、土層を支えるために、内径5 mm の89個の穴(開孔率4.86%)のあいた厚さ3 mm の真鍮製の円板が置かれている。なお、この板は土粒子の流出を防ぐため水玉をもせたガーゼでおおわれ、その上に水を十分含ませた静浄な砂をおかれていふ。実験条件は、表-1に示すよう含んで、実験は混合土表面に雨量強度10~20 mm/hr の水道水を4~5時間程度散布する。円筒底部から流出する浸透比(透水量)については約1時間毎、また前述した水質項目に(%)については2~3時間毎に測定を行なった。なお、実験に用いた火山灰は、図-3に示すような粒度分布を示し、比重2.346、最大粒径19.1 mmである。

3. 実験結果および考察

図-4は、実験終了後の火山灰土層および混合土層の含水比の関係と含水比と横軸に火山灰土層厚を横軸にとり示したものである。データは、限界混合比を求める実験で円筒底部から浸透水が流出したものを用い、図中各土層厚に示す値は、混合比が異なり0.2~15%の範囲の値をもつものである。混合土層では、混合比に灰より含水比が大きく変化し、特に土層厚5 cmの場合に70~100%にわたり変化する。一方、火山灰土層では、各土層とも混合比による影響はない。図に示した曲線は、各土層厚の平均値を示したものである。この曲線の傾向をみると混合土層、火山灰土層とも土層厚0~10 cmくらいまでは土層厚の増大とともに含水比が大きくなり土層厚10 cmぐらで最大となる。さうに土層厚が大きくなると、含水比は次第に減少する。この減少の割合は特に混合土層で小さく、土層厚20 cm~40 cmを考へると混合土層では、ほぼ一定値85%程度となり、

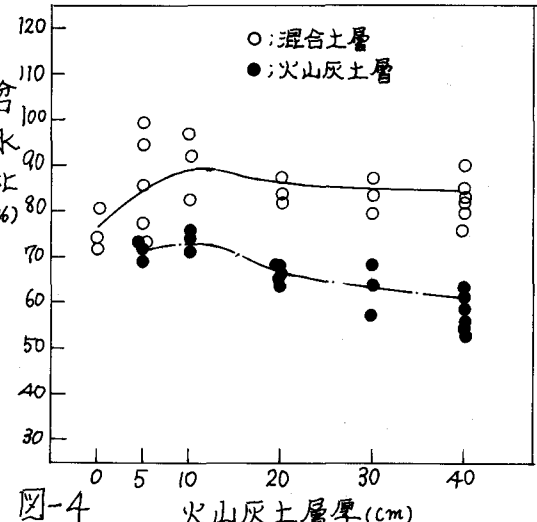


図-4 火山灰土層厚(cm)

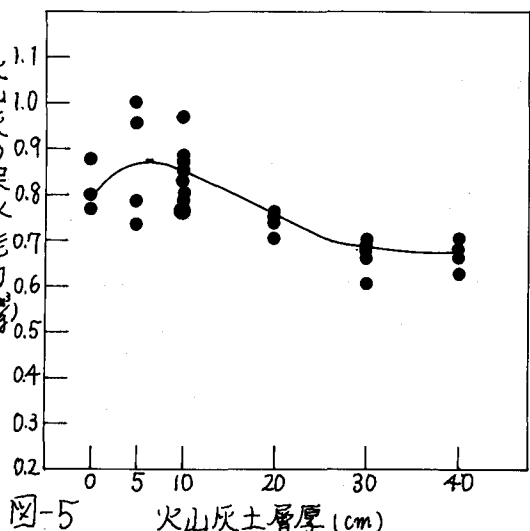


図-5 火山灰土層厚(cm)

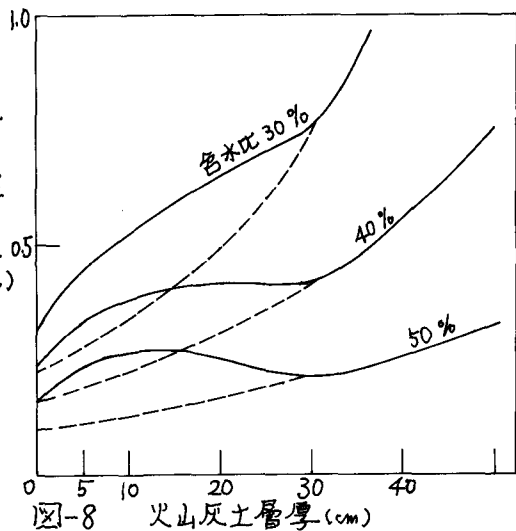
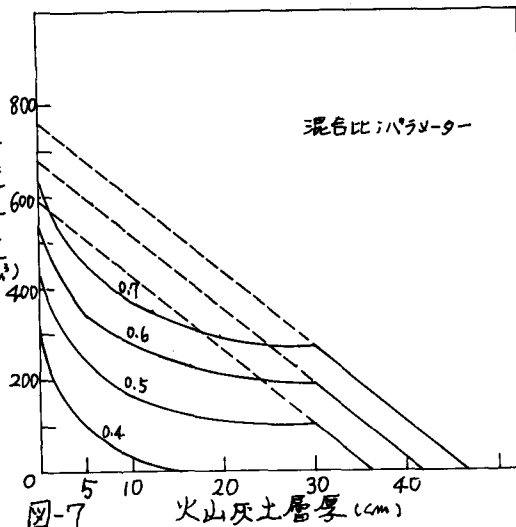
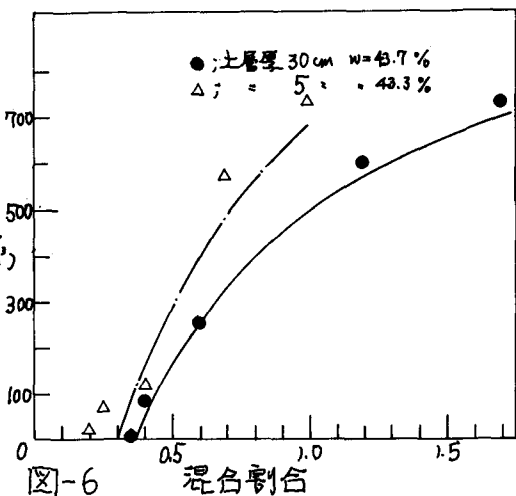
また火山灰土層では60~70%の値をとる。以上の結果を考察すると次のようである。土層厚により混合肥は異なるが火山灰土層上の混合肥は、高含水比の活性汚泥を混合している。この汚泥のうち、浮遊物成分は混合肥層中で多くは、火山灰土層の一部に捕留されると、これらの水土層の中では時間とともに混合肥より活性汚泥フロックの量によりフロックは押し潰され水分を放出する。本実験のように、3日程度円筒内に混合肥を放置しても汚泥は、かなりの水分を含んでいると思われる。このような理由により、図-6に示す各土層厚の混合肥によるバラツキは、混合肥層の場合に大きく、また含水比も火山灰土層に比べ、混合肥層の場合の方が大きくなると考えられる。

円筒底部からの浸透水量を測定されたものについて、火山灰土の保水能力を算出し、これを吸着ヒドリ、横軸に火山灰土層厚をとり混合肥比をパラメーターとしてすと図-5のようである。保水能力は、実験開始に含まれる水量、つまり汚泥および全土層(火山灰土層+混合肥層の火山灰土)に含まれる水分と実験終了後までに円筒底部から流出する浸透水量を測定することにより求めた。
保水能力は、火山灰土層厚5cmをピークとしてその後ゆるやかに減少し30cm以上降低は一定となる。同じ土量では、実験終了後の含水比が高いものほどより多くの水を保水するので実験終了後の含水比および保水能力の火山灰土層厚に対する関係は同様である。

図-5より求めた火山灰土の保水能力を用いることにより、浸透水量、混合肥比、火山灰土層厚および火山灰の含水比が計算で求めることができる。実験前後の水量の差が、全土層中の水量に等しいことから次式で算出される。なお、図-5およびこの計算では、混合肥層の表面から蒸発する水分は条件とも同一であると考えている。

$$\frac{W_1 + W_2}{(1+w)\gamma_w} \cdot w + Q_1 - Q_2 = \frac{W_1 + W_2}{1+w} \cdot A \quad (1)$$

ここで、
 W_1 : 火山灰土層の湿潤重量(g)
 W_2 : 混合肥層の(g)
 γ_w : 火山灰土層の湿潤重量(g)
 Q_1 : 混合肥層中の汚泥量(cm³)
 Q_2 : 浸透水量(cm³)
 A : 火山灰土の保水能力(cm³/g)
 w : 火山灰土の含水比(%)
 γ_w : 水の密度体積重量(g/cm³)
 とし、汚泥の比重を概略1.0とする。また火山灰土の比重を1.6とすると混合肥層の体積は、実験では常に一定であるので、その体積Vは次式のようになる。



$$V = Q_1 + \frac{W_2}{\gamma_w(1+w)} \cdot \left(\frac{1}{G_s} + w \right) \quad (cm^3) \quad (2)$$

また、混合比 P は、前述したように次式で示される。

$$P = \frac{Q_1 \cdot C}{Q_1 \cdot C + W_2} \times 100 \quad (\%) \quad \text{ここで, } C; \text{ 溶液濃度 } (g/cm^3) \quad (3)$$

式(1)と式(2)より、浸透水量 Q_2 を求めると、

$$Q_2 = V - W_2 \cdot \frac{1}{(1+w)\gamma_w} \cdot \left(\frac{1}{G_s} + A \right) - W_1 \cdot \frac{1}{1+w} \cdot \left(A - \frac{w}{\gamma_w} \right) \quad (4)$$

となる。 W_2 を求めると、

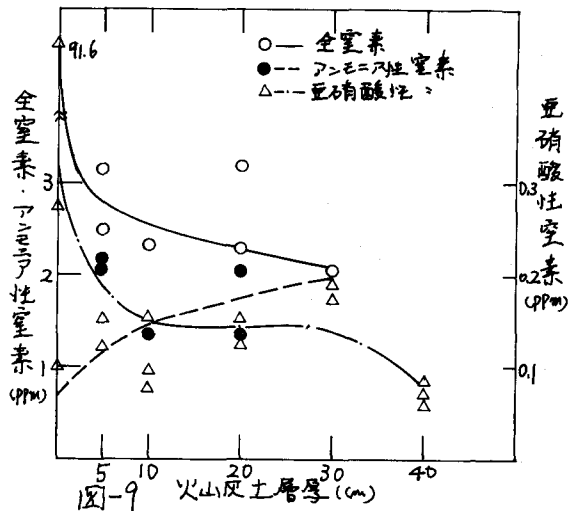
$$W_2 = \frac{100-P}{P} \cdot C \cdot V / \left\{ 1 + \frac{1}{(1+w)\gamma_w} \cdot \left(\frac{1}{G_s} + w \right) \cdot \frac{100-P}{P} \cdot C \right\} \quad (5)$$

となる。

火山灰土層厚をパラメーターとして、浸透水量 Q_2 と混合比 P の関係式(4)と式(5)を用いて計算した値と、実験値とは較べて示すと図-6のようである。なお、火山灰の含水量 W_1 と火山灰土層の湿润重量 W_2 は実験値を、火山灰の保水能力 A は図-1より得られたものを用いた。浸透水量は、混合比の増加に伴ない上に凸の曲線を示す。一方 Q_2 を描いて増加する。図に示すように実験値と計算値のバラツキは、火山灰土層厚5cmで多く、一方30cmでは比較的少ない。この相違は、図-5に示されているように混合比により保水能力がバラツクための影響と考えられる。

浸透水量、火山灰土層厚、混合比をばり火灰の含水量を式(3)、式(4)、式(5)を用いて算出しそれらの関係を図表化して示すと、図-7および図-8のようである。ここで、保水能力は、図-5より土層厚30cm以上では一定値0.67%また、 W_1 は筆者らの実験結果では火山灰土層厚との間に、概略ではあるが直線関係が成立し $W_1 = 80L$ が得られていけるの図の関係式を用いている。図-7は、火山灰土の含水量を40%とし、混合比をパラメーターとして浸透水量と火山灰土層厚の関係を示したものである。浸透水量は、混合比の増加に伴ない上昇し火山灰土層厚が0cm~30cmまでは火山灰土層厚の増大とともに上に凸の曲線を示しながら減少し、それ以降では直線的に減少する。なお、図中の破線は直線関係の延長を示したものである。図-8は、火山灰土の含水量をパラメーターとして限界混合比と火山灰土層厚の関係を示したものである。限界混合比は、含水量の増加に伴ない減少し火山灰土層厚が0cm~30cmまでは火山灰土層厚の増大とともに上に凸の曲線を示して30cm以降では急激に増加する。また含水量が小さいほど火山灰土層厚の増加に伴ない限界混合比が急激に増加する。図-7および図-8において、火山灰土層厚0cm~30cmまでの領域で上に凸および凸の曲線と破線との相違は、図-5で示したように0cm~30cmでは前述した保水能力の平均値とせりあり相違していることによるものである。平均の保水能力と実験の保水能力との差は、図-7および図-8で示されるようになり、保水能力の影響はかなり大きいことを示している。

次に混合土層の表面から水道水を散布した場合と、そうでない場合との浸透水の水質について考察する。水を散布しない場合の火山灰土層厚と浸透水の全窒素、アンモニア性窒素、亜硝酸性窒素および全リン酸との関係を



示すと図-9および図-10のようである。ここで上述の水質項目は、実験槽底部より流出する浸透水を更に駆逐した後に測定したものである。又図-9および図-10では、名火山灰土層により混合土の汚泥の全窒素、全リノ酸等の濃度が異なるので一番濃度の低い恒正基準にして補正を行なったものである。両図とも横軸に火山灰土層厚を、縦軸に図-9では窒素系統で、図-10では全リン酸をとって示している。図-9に示すように亞硝酸性窒素は火山灰土層厚0cmで最大となり0.3mg/l程度の値をとり、火山灰土層厚の増大とともに減少するが、全窒素、アンモニア性窒素に比べて数量が少ない。ホウ酸性窒素は、本実験では検出されなかった。全窒素は、火山灰土層厚の小さいところでは急激に減少し、その後ゆるやかに減少する。逆に、アンモニア性窒素は火山灰土層厚0cmで最小で火山灰土層厚の増大とともに徐々に減少する。以上の結果をまとめると次のようである。図-9に示すように、全窒素は火山灰土層厚0cmの場合に9.6%もある。たものが、土層厚5cmでは約2.7%と急激に減少し土層厚の増大とともに徐々に減少する。従って火山灰土層を通じることにより全窒素は、減少することになる。混合土中の汚泥フロックは、火山灰土中に捕留されることは前述した通りである。この全窒素の減少を考察するために、同一汚泥を用いて過濾を行なった場合と、そうでない場合との全窒素、アンモニア性窒素濃度を比較したところ、アンモニア性窒素はほとんど変わらないものの全窒素は約10%減少する結果を得た。従って汚泥の遊離物成分に含まれる全窒素の割合は、溶解性成分に含まれるよりも大きいことから、火山灰土層の有無による全窒素の変化は汚泥フロックの捕留によるものと思われる。しかししながら、火山灰粒子が全窒素を捕集することも考えられ、この点については今後さらに検討することしたい。図-10に示す全リン酸は、火山灰土層厚20cmまで急激に減少し、その後徐々に減少する。汚泥の全リン酸は、過濾をかけて測定していること、および浸透水の溶解物成分がほとんど無視できるものであることを考慮すると、火山灰土は、全リン酸を除去する事が優れっているものと考えられる。

次に火山灰土層中を通じた場合の有機性、無機性窒素の変化を考こう。図-8の結果を用いて、浸透水の全窒素に対するアンモニア性窒素、亞硝酸性窒素、有機性窒

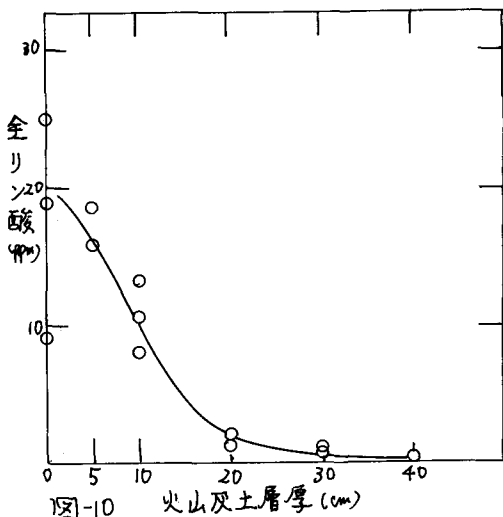


図-10 火山灰土層厚 (cm)

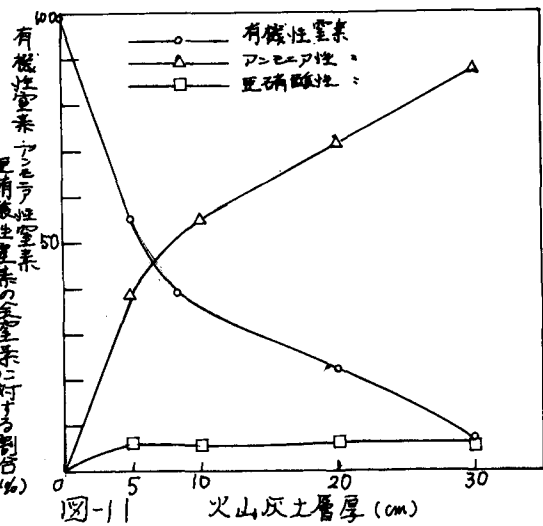


図-11 火山灰土層厚 (cm)

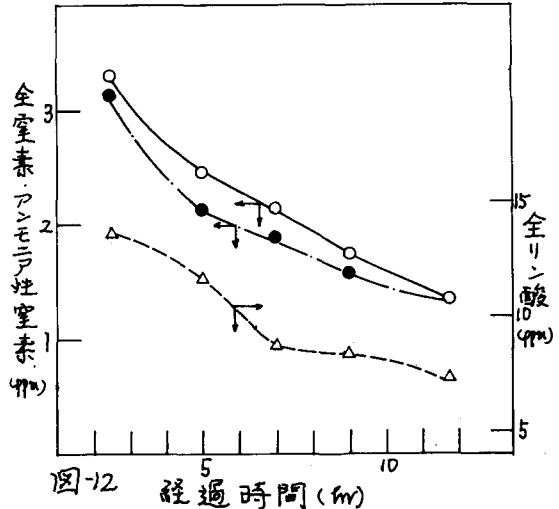


図-12 経過時間 (min)

素の割合をとり、火山灰土層厚に対するプロットしたもののが図-11である。(有機性窒素/全窒素)は、火山灰土層厚の増加に伴ない減少しているが、これは、上述したように火山灰土層厚が小さいほど浮遊物成分、つまり有機性窒素が浸透とともに流抜していく割合が大きくなる結果と考えられる。(アンモニア性窒素/全窒素)は、全窒素から(有機性窒素/全窒素)を引いたものであり、図には参考のために示している。又(亜硝酸性窒素/全窒素)は、火山灰土層厚0cm~5cmまでは増加するが、それ以降ではあまり変化しない。

混合土層表面に水を散布した場合の浸透水の全窒素、アンモニア性窒素、および全リン酸と経過時間に対して示したのが図-12である。なお、実験は、火山灰土層0cm、雨量強度14.3mm/hr、雨量試験時間5時間の条件で行なった。全窒素、アンモニア性窒素、および全リン酸は、ともに経過時間が進むにつれて同じように減少する。これは、次のように考えられる。混合土層の表層に水を散布することにより、混合土中に含まれる溶解性成分、および浮遊物成分のうち、比較的小さな汚泥フロック および浮遊物成分からの溶出は、実験開始後比較的短時間のうちに、洗い流される形で円筒底部より流出される。水の散布時間が長くなるにつれて、これらの流出しやすいものは少くなり、図のような結果となると思われる。また、火山灰土との共存により汚泥の有機性窒素の分解が促進される³⁾ことを考慮すると、さうに経過時間が進めば有機性窒素が減少し全窒素とアンモニア性窒素は、ほぼ一定値に近づくものと考えられる。

4. あとがき。

火山灰土と汚泥を混合作し、浸透水の水量と水質に関して、検討を加えた結果を要約すると次のようである。
1) 浸透水量を表す諸量として、火山灰の保水能力、火山灰の含水比、火山灰土層厚および混合比率である。これらの関係は、実験により火山灰土の保水能力を求めれば、計算により求められ因表化ができる、概略の数値を推定できる。

2) 火山灰土は、汚泥の浮遊物成分の大半を捕留することにより、全窒素、有機性窒素を除去する。チタリンについても、高い除去率を示す。

浸透水量を算定するにあたっては、火山灰の保水能力の影響が大きいので、火山灰の保水能力については、種々の条件で実験を行なって、さうに検討を加えた。また、水を散布する実験においても種々の条件で水質、水量の変化を調べ、土壌中にあたる有機物の変化についても実験を行なう予定である。

最後に、実験面ご苦労頼った、野口健次(室工大4年目学生)君、石垣信治(室工大4年目学生)君に感謝の意を表す。

参考文献

- 1) 三木伸夫、森忠洋、成田愛世：下水汚泥の農業利用に関する研究(I)－下水汚泥の堆肥化方法の開発－
下水道協会誌、Vol.15. NO.170. 7月号、1978.
- 2) 田中英至：下水汚泥の堆肥化とその利用計画の検討、下水道協会誌、Vol.15. NO.170. 7月号、1978.
- 3) 香川尚徳、白石忠男、栗原康：水田土壤中にあたる下水汚泥の分解、用水と施肥、Vol.20. NO.12. 12月号、1978.